



KATEDRA
INFORMATIKY
UNIVERZITA PALACKÉHO V OLMOUCI

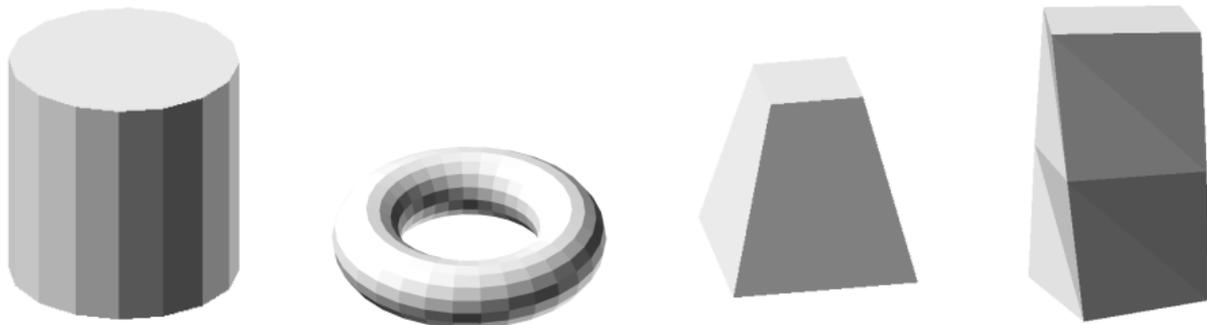
Modelování

KMI/3DG

Mgr. Markéta Trnečková, Ph.D.

Šablonování

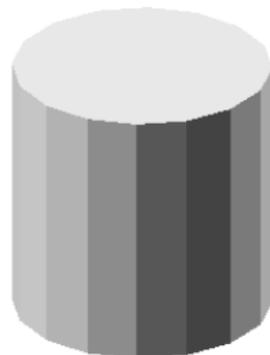
- **Sweeping** – modelovací technika
- Těleso vzniká tažením 2D objektu (**profilu**) po trojrozměrné křivce (**páteř**)
- **Typy šablonování:**
 - Translační šablonování – obrys je libovolný, páteř je úsečka → přímková plocha
 - Rotační šablonování – obrys je libovolný, trajektorie je kružnice (nebo její část) → rotace objektu kolem osy
 - Obecné šablonování – obrys i trajektorie libovolná → zobecněná válcová plocha
- Profilová křivka může v průběhu měnit tvar



Šablonování

Translační

- Přímkové plochy – v jednom směru se skládají z úseček
- Pokud profil nemění tvar – plochu získáme z rovinného objektu P vytažením ve směru \vec{t} o vzdálenost $d = |\vec{t}|$
- $Q(u, v) = P(u) + v \cdot \vec{t}$
- Pokud je profil definovaný křivkou (obrys), posuneme řídicí body a vykreslíme



Šablonování

Translační

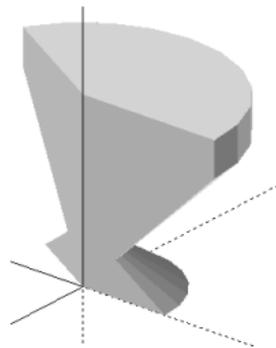
- Přímkové plochy – v jednom směru se skládají z úseček
- Pokud profil mění tvar – křivky definující obrys profilu jsou stejného stupně
- Plochu získáme propojením P_0 a P_1 přímkovou plochou
- $Q(u, v) = (1 - v) \cdot P_0(u) + v \cdot P_1(u)$



Šablonování

Rotační

- Rovinnou plochu (okraj zadaný křivkou) otáčíme kolem osy rotace
- Řezy jsou kružnice



Příklad

Jak získáme pomocí rotačního šablonování kouli?

Modelování pomocí deformací

- Omezená nabídka primitiv, ze kterých tvoříme 3D objekty
- Modelování pouze pomocí plátování – náročné
- Dodatečné tvarování objektů – **deformace**
- Deformace (dle toho jak velkou část tělesa deformace ovlivní):
 - Lokální
 - Globální

Modelování pomocí deformací

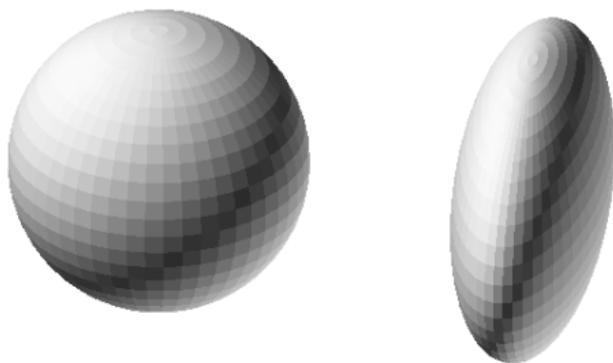
Barrový deformace

- Globální
- Nelineární a nelze je (lineárně) skládat s jinými transformacemi
- Nelze je aplikovat na všechny druhy modelů
- Nesmíme narušit topologii modelu
- **Nedeformované těleso**: $[x, y, z]$
- **Deformované těleso**: $[X, Y, Z]$
- **Deformace**: $X = F_x(x)$, $Y = F_y(y)$, $Z = F_z(z)$

Modelování pomocí deformací

Deformace změnou měřítka

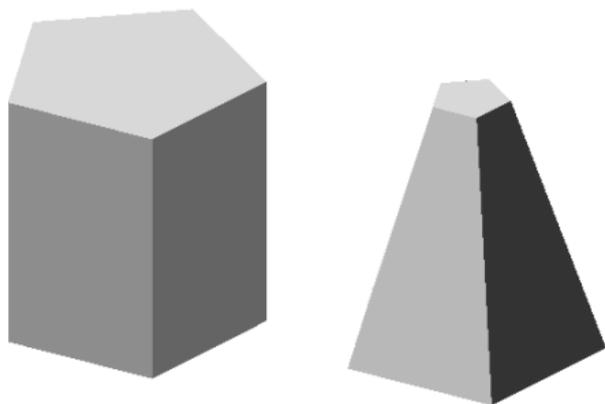
- **Deformace:** $X = s_x \cdot x$, $Y = s_y \cdot y$, $Z = s_z \cdot z$
- s_x , s_y , s_z – měřítko stlačení/natažení



Modelování pomocí deformací

Deformace zeslabování

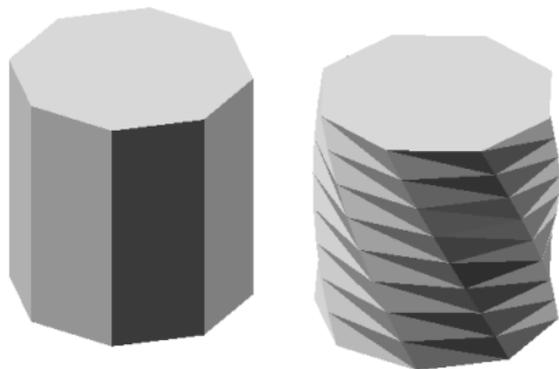
- Deformace zeslabování, zašpičatění, tapering
- Odvozena ze změny měřítka
- Zvolíme osu zeslabení a plynule měníme měřítko za zbývajících osách
- **Deformace ve směru osy z:** $X = r_x \cdot x$, $Y = r_y \cdot y$, $Z = z$
- $r_x = f_1(z)$, $r_y = f_2(z)$ – zeslabovací funkce



Modelování pomocí deformací

Deformace zkroucení

- Deformace zkroucení, twisting
- Zvolíme osu rotace
- **Deformace kolem osy z:** $X = x \cdot \cos(f(z)) - y \cdot \sin(f(z))$,
 $Y = x \cdot \sin(f(z)) + y \cdot \cos(f(z))$, $Z = z$



Modelování pomocí deformací

Deformace ohýbání

- Deformace ohýbání, bending
- Složená transformace – ohýbací zóna a vnější zóna tělesa
- Ve vnější zóně – posun a natočení
- V zóně ohybu kruhová deformace

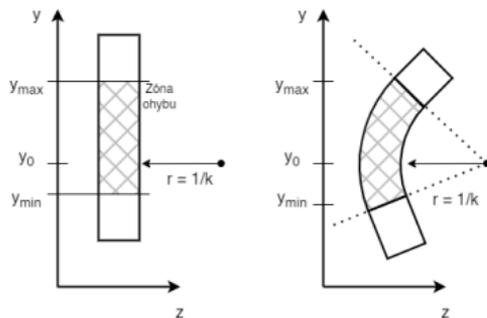


Modelování pomocí deformací

Deformace ohýbání

- Ohýbáme kolem osy rovnoběžné s osou x
- Parametry ohybu ve směru osy y
- Ohýbací zóna $y_{min} \leq y \leq y_{max}$
- Poloměr ohybu $1/k$
- Střed ohybu $y = y_0$
- Úhel ohybu θ
- $\theta = k \cdot (y' - y_0)$

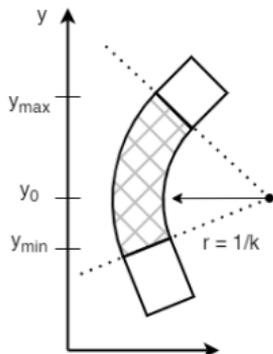
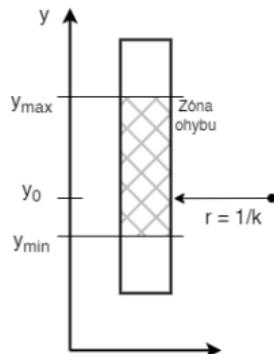
$$y' = \begin{cases} y_{min} & y < y_{min} \\ y & y_{min} \leq y \leq y_{max} \\ y_{max} & y_{max} < y \end{cases}$$



Modelování pomocí deformací

Deformace ohýbání

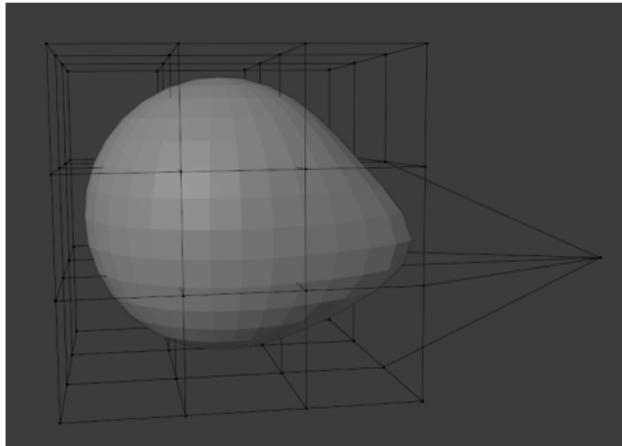
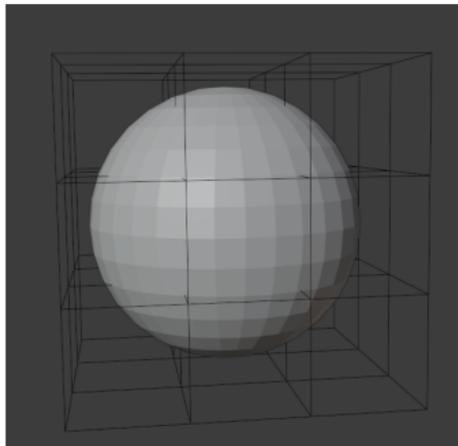
$$X = x$$
$$Y = \begin{cases} -\sin(\theta) \cdot (z - 1/k) + y_0 + \cos(\theta)(y - y_{min}) & y < y_{min} \\ -\sin(\theta) \cdot (z - 1/k) + y_0 & y_{min} \leq y \leq y_{max} \\ -\sin(\theta) \cdot (z - 1/k) + y_0 + \cos(\theta)(y - y_{max}) & y_{max} < y \end{cases}$$
$$Z = \begin{cases} \cos(\theta) \cdot (z - 1/k) + 1/k + \sin(\theta)(y - y_{min}) & y < y_{min} \\ \cos(\theta) \cdot (z - 1/k) + 1/k & y_{min} \leq y \leq y_{max} \\ \cos(\theta) \cdot (z - 1/k) + 1/k + \sin(\theta)(y - y_{max}) & y_{max} < y \end{cases}$$



Modelování pomocí deformací

Volné tvarování

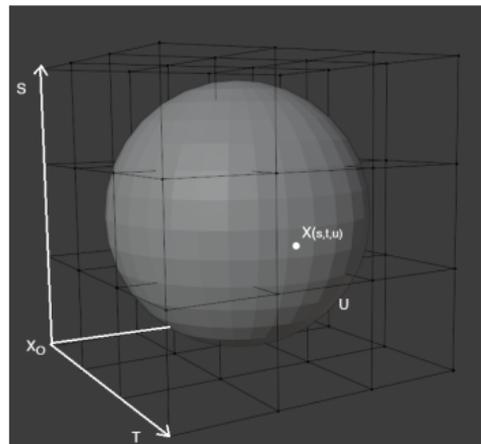
- Free form deformation (FFD)
- Je možné je aplikovat na různé objekty (nejen tělesa, ale i plochy), v různých reprezentacích
- Představit si to můžeme tak, že objekt vložíme do formy tvaru hranolu, na který poté aplikujeme transformace
- při deformaci hranolu, se deformuje i objekt uvnitř



Modelování pomocí deformací

Volné tvarování

- Souřadný systém $0, X, Y, Z$
- Nový souřadný systém s počátkem X_0 – bázi tvoří lineárně nezávislé vektory S, T, U (nemusí být na sebe kolmé), vymezení rovnoběžnostěn
- Rovnoběžnostěn obsahuje objekt (nebo jeho část)
- Každý bod X se světovými souřadnicemi $[x, y, z]$ má v lokálním systému souřadnice $[s, t, u]$
- $X = X_0 + s \cdot S + t \cdot T + u \cdot U$



Modelování pomocí deformací

Volné tvarování

- Před aplikací známe světové souřadnice bodu X a potřebujeme určit jeho lokální souřadnice v

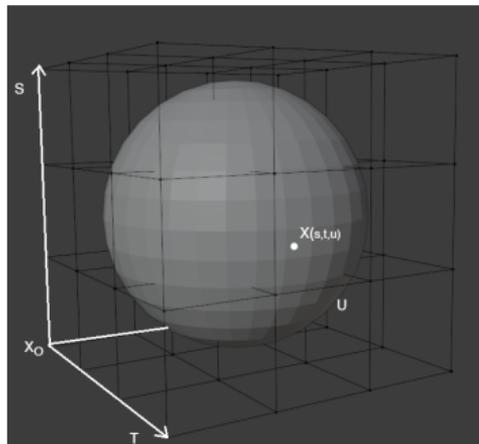
X_0, S, T, U

$$s = \frac{T \times U \cdot (X - X_0)}{T \times U \cdot S}$$

$$t = \frac{S \times U \cdot (X - X_0)}{S \times U \cdot T}$$

$$u = \frac{S \times T \cdot (X - X_0)}{S \times T \cdot U}$$

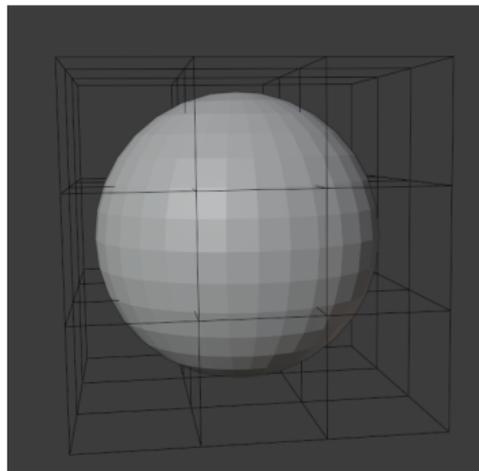
- Pro body uvnitř rovnoběžnostěnu platí $s, t, u \in \langle 0, 1 \rangle$



Modelování pomocí deformací

Volné tvarování

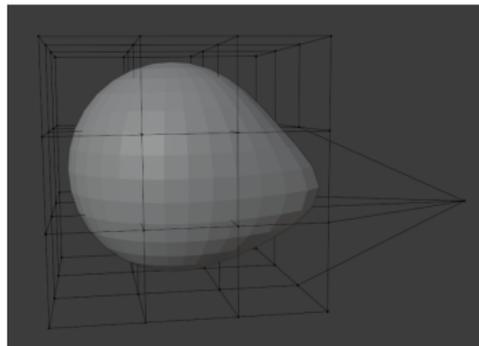
- V prostoru rovnoběžnostěnu vytvoříme pravidelnou prostorovou mřížku řídicích bodů P_{ijk} ($i = 0, \dots, l$, $j = 0, \dots, m$, $k = 0, \dots, n$)
- Body vzniknou jako průsečíky rovin ve směrech S ($l + 1$ rovin), T ($m + 1$ rovin) a U ($n + 1$ rovin)
- Mřížka pravidelná (roviny jsou v pravidelném rozestupu)
$$P_{ijk} = X_0 + \frac{i}{l} \cdot S + \frac{j}{m} \cdot T + \frac{k}{n} \cdot U$$



Modelování pomocí deformací

Volné tvarování

- Rovnoběžnostěn zdeformujeme přemístěním bodů P_{ijk}
- Pro každý bod uvnitř rovnoběžnostěnu (lokální souřadnice jsou stále $[s, t, u]$) zjistíme jeho polohu ve světových souřadnicích
- Polohu bodu ovlivňují řídicí body P_{ijk} s určitou váhou
- Novou pozici můžeme spočítat například lineární interpolací pomocí nejbližších řídicích bodů
- S ohledem na požadovanou spojitost/hladkost je vhodné volit jiné váhy, například Bernsteinovy polynomy



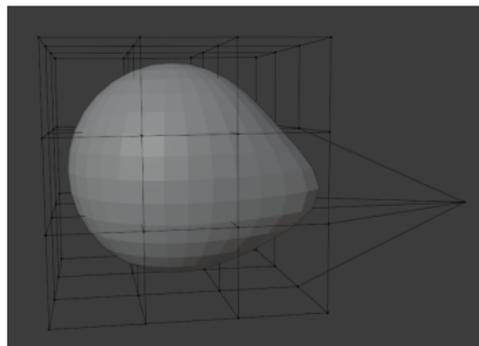
$$X_{ffd}(s, t, u) = \sum_{i=0}^l \binom{l}{i} (1-s)^{l-i} s^i \left[\sum_{j=0}^m \binom{m}{j} (1-t)^{m-j} t^j \left[\sum_{k=0}^n \binom{n}{k} (1-u)^{n-k} u^k \cdot P_{ijk} \right] \right]$$

Modelování pomocí deformací

Volné tvarování

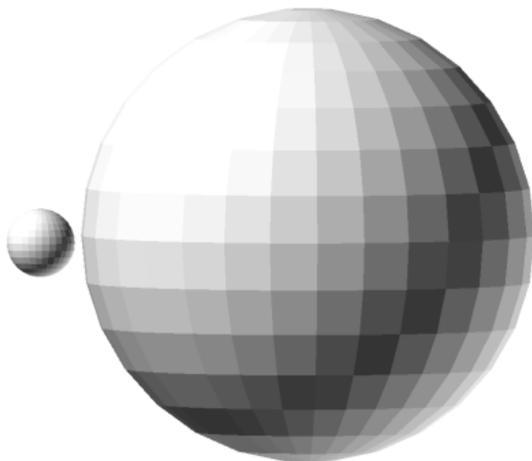
$$X_{ffd}(s, t, u) = \sum_{i=0}^l \binom{l}{i} (1-s)^{l-i} s^i \left[\sum_{j=0}^m \binom{m}{j} (1-t)^{m-j} t^j \left[\sum_{k=0}^n \binom{n}{k} (1-u)^{n-k} u^k \cdot P_{ijk} \right] \right]$$

- P_{ijk} jsou přemístěné body
- X_{ffd} je bod ve světových souřadnicích na lokálních souřadnicích (s, t, u) po deformaci
- FFD zachovává vlastnosti parametrických povrchů



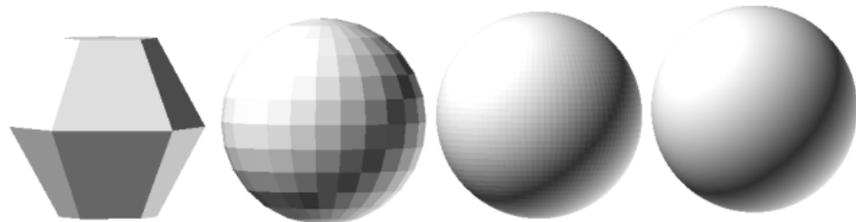
Dělené povrchy

- Při převodu tělesa na polygonální síť nastává problém s úrovní detailů
- Např. Kouli je snadné definovat matematicky, pomocí polygonů ne
- V určitém momentu je aproximace pomocí nějakého množství trojúhelníků dostatečná
- Při změně měřítka jsou pak ale hrany opět viditelné



Dělené povrchy

- **Polynomiální síť** = množina vrcholů určující tvar povrchu společně s informacemi o propojení mezi nimi (topologie objektu)
- **Dělení** je definováno jako rekurzivní proces, při kterém zjemňujeme polygonální síť přidáváním nových vrcholů a plošek a tím jí zahlazujeme
- Povrchy vzniklé tímto procesem nazýváme **dělené povrchy**
- Zejména se využívají v aplikacích, kde je kritická velikost dat – například posílání dat (posíláme jen hrubý obrys o vytvoření hladkého se stará příjemce), nebo v počítačových hrách, kde se potřebná úroveň detailu v průběhu mění
- Jdeme-li limitně do nekonečna, dostaneme výsledný povrch, v praxi zastavíme, když je výsledná ploška velká jeden pixel



Dělené povrchy

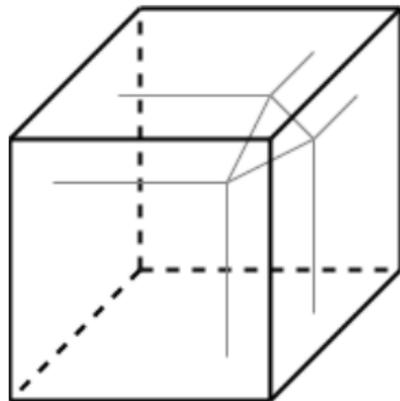
Dělicí schémata

- **Dělicí pravidlo** = předpis, který určité skupině vrcholů přiřadí rozsáhlejší množinu vrcholů
- Zahrnuje pravidla dělení spolu s údaji, jak propojit výsledné vrcholy do nové polygonální sítě
- **Dělení povrchů** = aplikování určitého dělicího schématu na konkrétní polygonální síť
- Při srovnávání dělicích schémat se vychází z vlastností, které charakterizují jejich aplikovatelnost a geometrické vlastnosti generovaných povrchů
- **Rozdělení** (podle způsobu vytváření nové sítě):
 - Dělení nad ploškami (face split)
 - Dělení nad vrcholy (vertex split)

Dělené povrchy

Dělení nad vrcholy

- **Vertex split**
- V okolí vrcholů jsou přidány nové vrcholy v rámci každé plošky
- Jejich propojením s dalšími nově vytvořenými vrcholy, které přísluší stejné plošce, vzniknou nové plošky

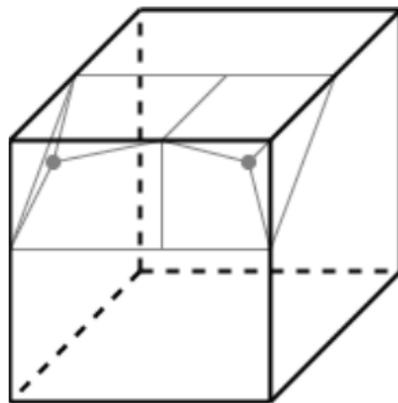


Dělené povrchy

Dělení nad ploškami

■ Face split

- V okolí plošek vzniknou nové vrcholy, na hranách i mimo ně
- Jejich propojením s dalšími nově vytvořenými vrcholy vzniknou nové plošky
- Aproximační i interpolační
- Při aproximaci neprochází nově vytvořená polygonální síť vrcholy původné sítě a v každém kroku se limitně přibližuje limitě povrchu
- Při interpolaci se vrcholy původní sítě stávají vrcholy nové sítě a jsou i vrcholy limitního povrchu tělesa



Dělené povrchy

Požadavky na dělicí schéma

- Musí se dát aplikovat na model reprezentovaný polygonální sítí s libovolnou topologií, plošky mohou mít libovolný počet vrcholů
- Možnost změny měřítka – tj. možnost volby úrovně detailu (rekurzivní výpočet toto umožňuje)
- Rychlost a lokální definice – nové vrcholy jsou počítány pomocí několika jednoduchých početních operací, výpočet by neměl záviset na příliš vzdálených vrcholech
- Invariance vůči afinním transformacím

Dělené povrchy

Dělicí schémata

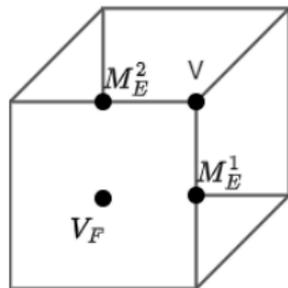
- **Nad ploškami:** Loop, Catmull-Clark, Butterfly, Kobbelt
- **Nad vrcholy:** Doo-Sabin, Midedge
- **Libovolná topologie:** Catmull-Clark, Doo-Sabin, Midedge
- **Síť trojúhelníků:** Loop, Butterfly
- **Aproximační:** Loop, Catmull-Clark, Doo-Sabin
- **Interpolační:** Kobbelt, Butterfly

Další odvozená schémata, do kterých byly přidány další omezující vlastnosti

Dělené povrchy

Doo-Sabin

- Aproximační, nad vrcholy, libovolná topologie
- **Ploškový bod** V_F je vypočten jako průměr všech vrcholů V_i plošky (těch je N)
$$V_F = \frac{1}{N} \cdot \sum_{i=1}^N V_i$$
- Pro každý vrchol V vypočítáme nový vrchol V' příslušný k původnímu jako průměr ploškového bodu V_F , původního vrcholu V a středů hran M_E^1 , M_E^2 , které z něj vychází a jsou hranami zpracovávané plošky
$$V' = \frac{V + V_F + M_E^1 + M_E^2}{4}$$
- Každý nově vypočítaný vrchol přísluší k původnímu vrcholu, zpracovávané plošce a jejím dvěma hranám sdílejícím původní vrchol
- Vypočítané vrcholy pak propojujeme do výsledné sítě



Dělené povrchy

Doo-Sabin

Typy plošek

- **Ploška v rámci plošky** (face-face) – Vznikne propojením nově vytvořených vrcholů pro danou plošek
- Počet vrcholů této plošky odpovídá počtu vrcholů původní plošky
- **Hranová ploška** (edge-face) – Vznikne propojením nově vytvořených vrcholů příslušných k dané hraně
- Každá tato ploška má 4 vrcholy
- **Vrcholová ploška** – Vznikne propojením nově vytvořených vrcholů příslušných k původnímu vrcholu

Příklad

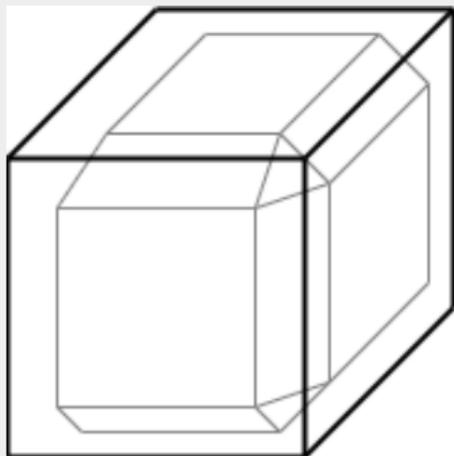
Kolik vrcholů má nová (vrcholová) ploška?

Dělené povrchy

Doo-Sabin

Příklad

Pojmenujte plošky, které vznikly dělením Doo-Sabin.



Dělené povrchy

Doo-Sabin

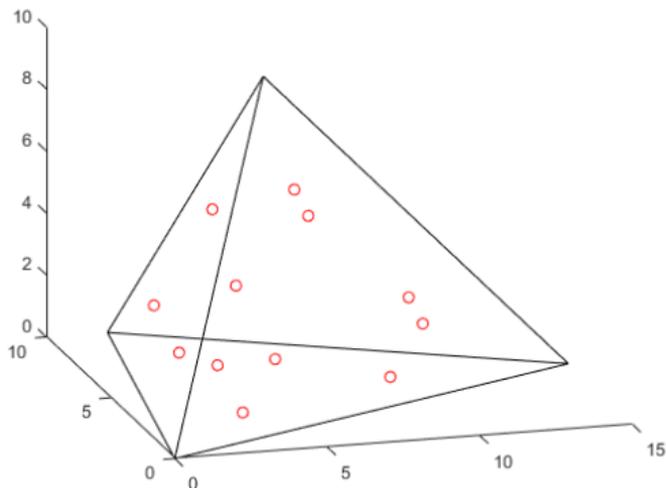
- Počet vrcholů nové vrcholové plošky je roven počtu plošek sdílejících tento vrchol
- Povrchy vzniklé dělením Doo-Sabin splňují C^1 spojitost
- Modely, které obsahují otevřený povrch, mohou obsahovat hraniční hrany
- Při dělení jsou nové vrcholy V'_1 a V'_2 příslušné k hraničním vrcholům V_1 a V_2 vypočteny dle vztahu
$$V'_1 = \frac{1}{4}(V_1 + 3 \cdot V_2) \text{ a } V'_2 = \frac{1}{4}(V_2 + 3 \cdot V_1)$$
- Vznikne nová hranová ploška
- Počet hraničních vrcholů zůstává konstantní
- Nově vytvořené vrcholové plošky konvergují k těmto vrcholům

Dělené povrchy

Doo-Sabin

Příklad

Pro čtyřstěn s vrcholy $V_1 = [0, 0, 0]$, $V_2 = [15, 5, 0]$, $V_3 = [2, 10, 0]$ a $V_4 = [5, 5, 10]$ spočítejte souřadnice nových vrcholů, které získáme metodou Doo-Sabin.



Dělené povrchy

Midedge

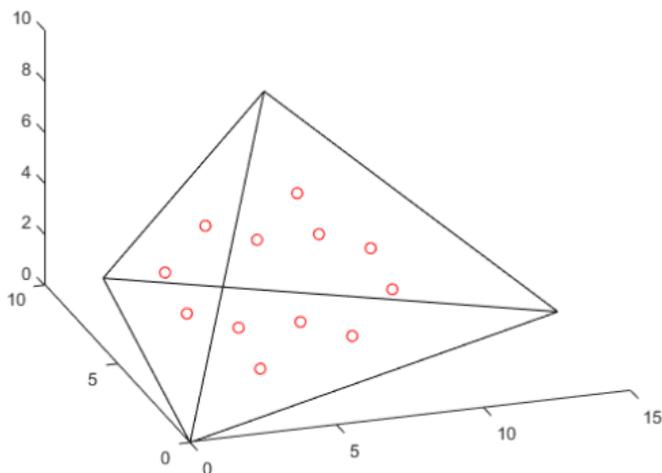
- Algoritmus podobný Doo-Sabin
- Vrcholy se počítají jednodušším způsobem a nezávisejí na všech vrcholech plošky
- Nový vrchol V' vypočítáme jako průměr hran vycházejících z původního vrcholu
$$V' = \frac{M_E^1}{2} + \frac{M_E^2}{2}$$
- Poskytuje pouze C^1 spojitost

Dělené povrchy

Midedge

Příklad

Pro čtyřstěn s vrcholy $V_1 = [0, 0, 0]$, $V_2 = [15, 5, 0]$, $V_3 = [2, 10, 0]$ a $V_4 = [5, 5, 10]$ spočítejte souřadnice nových vrcholů, které získáme metodou Midedge.



Dělené povrchy

Catmull-Clark

- Aproximační, dělení nad ploškami
- Pro každou plošku F původní sítě s vrcholy V_1, \dots, V_N spočítáme **ploškový bod** V_F jako průměr všech vrcholů plošky (analogicky jako u Doo-Sabin)

$$V_F = \frac{1}{N} \cdot \sum_{i=1}^N V_i$$

- Tento bod bude bodem výsledné sítě
- Pro každou hranu E s koncovými body E_1 a E_2 , která sdílí plošky F_1 a F_2 určíme **hranový bod** (edge point) jako průměr vrcholů hrany a ploškových bodů $V_{F_1}^1$ a $V_{F_2}^2$

$$V_E = \frac{E_1 + E_2 + V_{F_1}^1 + V_{F_2}^2}{4}$$

- Pro **vrcholový bod** V_V existují různé předpisy, například spočítáme průměr všech ploškových bodů V_F^i okolních plošek sdílejících původní vrchol V a průměr hranových vrcholů V_E^i hran z něj vycházejících

$$V_V = \frac{1}{N} \cdot \left(\frac{1}{N} \sum_{i=0}^N V_F^i + \frac{1}{N} \sum_{i=0}^N V_E^i + (N-2) \cdot V \right)$$

Dělené povrchy

Catmull-Clark

- Výpočet je složitější než Doo-Sabin
- Nová ploška vznikne propojením ploškového bodu k oběma hranovým bodům a jejich následným propojením s novým vrcholovým bodem.

Příklad

Kolik vrcholů bude mít nová síť?

Dělené povrchy

Catmull-Clark

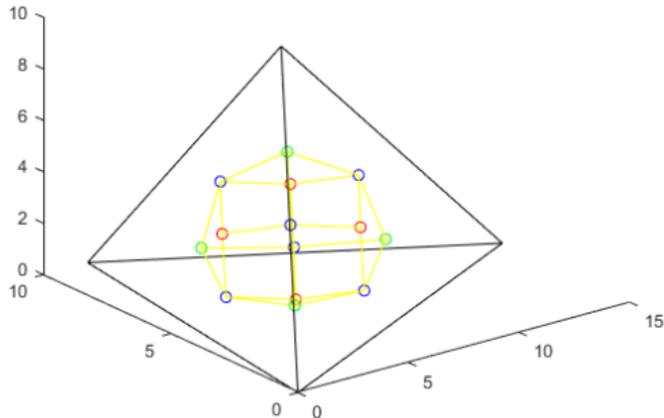
- V rámci původní plošky s vrcholy V_1, \dots, V_N se vytvoří N nových plošek a každá bude mít 4 vrcholy
- Čtvercová síť se vytvoří hned v prvním kroku dělení a tato topologie pak zůstává zachována
- C^1 spojitý povrch (někdy i C^2)
- na hranicích povrchu (pokud je těleso otevřené) počítáme hranové body pouze jako průměr vrcholů hrany

Dělené povrchy

Catmull-Clark

Příklad

Pro čtyřstěn s vrcholy $V_1 = [0, 0, 0]$, $V_2 = [15, 5, 0]$, $V_3 = [2, 10, 0]$ a $V_4 = [5, 5, 10]$ spočítejte souřadnice nových vrcholů, které získáme metodou Catmull-Clark.



Pokročilé modelování

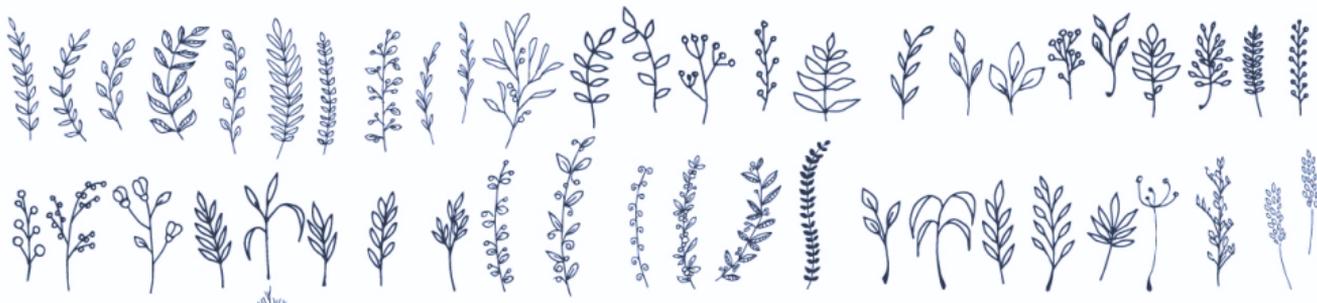
- Ne všechny objekty je snadné vytvořit pomocí hraničních ploch, nebo polygonální sítí, která ho aproximuje, upravené deformacemi
- Příkladem jsou velmi členité objekty (například stromy) – jedna větev by byla tvořena mnoha ploškami
- Existuje velká řada metod, které se používají pro komplexní modelování
- **Druhy metod**
 - Procedurální modelování:
 - Vytváříme proces, který dokáže tyto modely vygenerovat
 - Například stromy, rostliny, mraky
 - Místo popisu rostliny pomocí ploch, vytvoříme metodu `růst`, která rostlinu vygeneruje
 - Vzhled rostliny je dán vstupními parametry této funkce
 - Systémy částic
 - Objekt je kolekce částic, které mají nějaké vlastnosti, které se v průběhu času mění
 - Tím se vytváří dynamický systém, který se časem vyvíjí
 - Rostliny, srst, kouř, sníh

Pokročilé modelování

Modelování založené na gramatice

■ Motivace – rostliny

- Rostliny mají složitou geometrii, která se během času ještě zesložituje (např. přibývají další větve)
- Každá rostlina je jiný, i když se jedná o stejný druh. Má například různě velké listy, jinou pozici větví a pod.
- Tato „náhodná“ změna může být přidána do funkce růst, což zapříčiní, že stejnou metodou získáme více variant jedné rostliny
- Každý rostlinný druh je dán různými vlastnostmi – možnosti toho, jak rostlina může vypadat (úhly větví, kde nové větve rostou, kde se objevují květy a pod.)



Pokročilé modelování

Modelování založené na gramatice

- **Pravidla gramatiky:** $A \rightarrow B$
- A může být nahrazeno B (A se stane B)
- **Dělení** – dle toho jak pravidla vypadají
 - Deterministické bezkontextové
 - Deterministické kontextové
 - Nedeterministické (otevřené) systémy
 - Parametrické
- Většinou jsou tyto systémy **paralelní** – všechna pravidla se aplikují zároveň (rostlina roste ve všech větvích najednou)
- **L-systémy:** 1968 Lindenmayer vytvořil množinu gramatik, která popisuje průběh růstu vláknitých organismů (např. řasy)
- Tato myšlenka byla dále rozvíjena
- Matematický formalismus – paralelní přepisování řetězců (posloupnosti symbolů) dle pravidel
- Po několika iteracích se textový řetězec zobrazuje graficky
- Každý symbol má přiřazen geometrický význam, transformaci, generování objektu či akci

Modelování založené na gramatice

Deterministický bezkontextový

- Deterministický bezkontextový L-systém (dL-systém)
- $G = \langle V, P, S \rangle$
- V ... konečná abeceda symbolů (a, b, \dots)
- P ... konečná množina pravidel $A \rightarrow B, A \in V, B \in V^*$
- S ... axiom = neprázdná posloupnost symbolů $S \in V^+$
- **Derivace** – paralelní přepsání všech symbolů $X \in A$ řetězce V^* na pravé strany pravidel z množiny P
- Každou iterací (derivací) vzniká nová generace rostliny
- Některé systémy jsou rozšířeny o **zásobník** (množina symbolů je obohacena o znaky [a])
- [uložení stavu na zásobník
-] vyzvednutí stavu ze zásobníku
- Na tomto systému byla založena Želví grafika

Modelování založené na gramatice

dL-systém

Příklad

Máme následující pravidla

$0 \rightarrow 1[0]1[0]0,$

$1 \rightarrow 11,$

$[\rightarrow [,$

$] \rightarrow].$

Začneme s řetězcem 0, jak budou vypadat následující dvě iterace?

Modelování založené na gramatice

dL-systém

Příklad

Máme následující pravidla

$0 \rightarrow 1[0]1[0]0$,

$1 \rightarrow 11$,

$[\rightarrow [$,

$] \rightarrow]$.

Začneme s řetězcem 0, jak budou vypadat následující dvě iterace?

1 0

2 1[0]1[0]0

3 11[1[0]1[0]0]11[1[0]1[0]0]1[0]1[0]0

Modelování založené na gramatice

dL-systém

■ Grafická reprezentace

- 0 a 1 vykreslete čáru (zadané délky)
- [současná pozice a úhel je zapamatován a kreslení pokračuje pod úhlem 45° (směr se může v průběhu střídat $+/- 45^\circ$)
-] kreslení se posune zpět do poslední zaznamenané pozice a směru

Modelování založené na gramatice

dL-systém

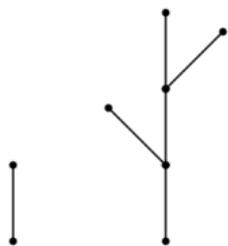
Příklad

Zakreslete předchozí příklad graficky.

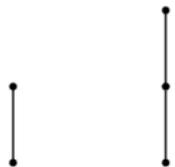
Modelování založené na gramatice

dL-systém

Pravidlo $0 \rightarrow 1[0]1[0]0$



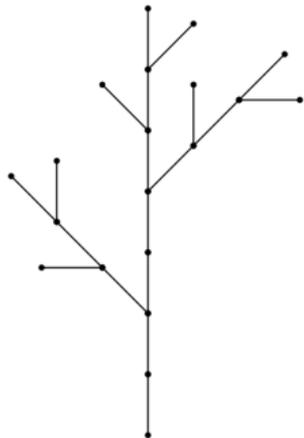
$1 \rightarrow 11$



Modelování založené na gramatice

dL-systém

3. krok iterace



Modelování založené na gramatice

dL-systém

Příklad

Definujte vlastní gramatiku. Podívejte se na výstupy několika kroků.

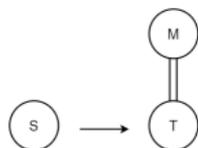
Modelování založené na gramatice

dL-systém

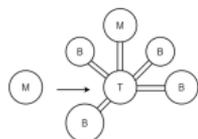
- McConnell představil vlastní gramatiku
- Pravidla nereprezentoval jako řetězce, ale pomocí 3D grafů – přímočařejší postup při vykreslování

Modelování založené na gramatice

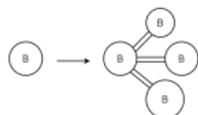
dL-systém



Pravidlo, kde se ze semínka (seed) stane kmen (trunk) a meristém (dělivé plerivo), nebo také bod růstu



Pravidlo, kde se ze meristém stává kmenem a 4 větvemi (brunch) na něm



Pravidlo, kde se dále rozrůstají větve

Modelování založené na gramatice

dL-systém

Příklad

Jak bude vypadat výsledek po 3 iteracích?

Modelování založené na gramatice

Stochastické systémy

- Nedeterministické L-systémy
- V množině pravidel P je možné mít více pravidel se stejnou levou stranou
- Pravidla:
 $A \rightarrow B : pp$
- pp je pravděpodobnost, že symbol bude přepsán právě tímto pravidlem
- Součet pravděpodobností pro stejnou levou stranu musí být 1

Modelování založené na gramatice

Stochastický systém

Příklad

Vymyslete nějaký jednoduchý stochastický systém a simulujte několik iterací. Například pomocí hodu kostky.

Modelování založené na gramatice

Kontextový L-systém

- Pravidla jsou rozšířena o kontext
- Pravidla:
 $lc\langle A\rangle rc \rightarrow B$
- $lc, rc \in V^*$
- Vymyslete nějaký příklad kontextového pravidla

Modelování založené na gramatice

Parametrický L-systém

- Pracuje s parametrickými slovy $A()$
- V () jsou zadané parametry, může být prázdná, musí být konečná
- Díky parametrům můžeme obohatit pravidla o logické či aritmetické výrazy
- $G = \langle V, \Sigma, \omega, P \rangle$
- V ... abeceda
- Σ ... množina formálních parametrů
- P ... konečná množina pravidel
- $\omega \in (V \times R^*)^+$ neprázdné parametrické slovo – axiom

Modelování založené na gramatice

Parametrický L-systém

- Pravidla:

$id : lc \langle A \rangle rc : cond \rightarrow B : prob$

- id ... číslo pravidla

- lc, rc ... kontexty

- $cond$... logický výraz

- $prob$... pravděpodobnost s jakou bude pravidlo aplikováno v případě více pravidel se shodnou levou stranou

Modelování založené na gramatice

Parametrický L-systém

- Příklad – fazole
- Každá část uchovává informaci o svém stáří
- Pravidla mají podmínky, za kterých se aplikují a alternativní větve, co se má udělat, pokud podmínka splněná není
- Tím můžeme modelovat zpoždění vývoje některých částí
- části můžeme i odstraňovat

Modelování založené na gramatice

Parametrický L-systém

Pravidla

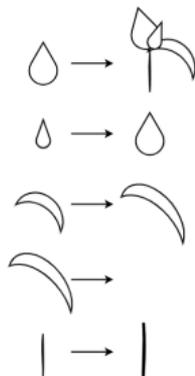
- $A(0)$... axiom
- $A(d) : d \leq 0 \rightarrow I(1)[-(10)L(1)][-(35)A(1)] + (10)/(180)A(0)$
- $A(d) : * \rightarrow A(d - 1)$
- $L(d) : d == 2 \rightarrow \%$
- $L(d) : * \rightarrow L(d + 1)$
- $I(d) \rightarrow I(d + 1)$

Pozn.

I ... větev, L ... list, $A(0)$... vrchol, $A(1)$ sekundární pupen

Před písmeny jsou úhly, pod kterými části přidáváme, v $()$ je věk

* značí alternativní větev, % list odstraníme (odpadne)



Modelování založené na gramatice

Parametrický L-systém

Příklad

Simulujte několik prvních kroků růstu fazole.

Modelování založené na gramatice

Parametrický L-systém

Příklad

Simulujte několik prvních kroků růstu fazole.



Modelování založené na gramatice

Otevřené systémy

- Nedeterministické, kontextové, parametrické L-systémy
- Otevřenost = možnost interagovat s prostředím (oběma směry, směrem dovnitř například informace o překážkách, množství dopadajícího světla)
- Rozšíříme o **komunikační kanály**
 $?E(x_1, \dots, x_n)$
- Před přepsáním pravidel se provede mezikrok, ve kterém se získávají hodnoty parametrů komunikačních modulů

Fraktální geometrie

- Modelování povrchů s drobnými variacemi (details) je složité
- Uměle vytvořené objekty se vyznačují přesností, objekty v přírodě ne
- **Fraktální geometrie** je nástroj, který umožňuje popsat složité objekty pomocí algoritmů
- **Soběpodobnost** – invariance vůči změně měřítka
- Soběpodobnou strukturu je možné rozložit na struktury z nichž každá je zmenšenou kopií originálu
- Např. čtverec je možné složit z menších čtverců, úsečku z menších úseček
 - Přesná soběpodobnost
 - Statistická soběpodobnost
- Soběpodobnost je nutná, ale ne postačující podmínka fraktálního charakteru objektu

Fraktální geometrie

Přesná soběpodobnost

- A je přesně soběpodobná, pokud je sjednocením konečného počtu transformovaných kopií sebe sama

$$A = \bigcup_{i=1}^n \varphi_i(A)$$

- φ_i jsou transformace rotace, posunutí a každá z nich je zároveň změnou měřítka s koeficientem $s_i \in \langle 0, 1 \rangle$
- Součet koeficientů musí být v intervalu $\langle 0, 1 \rangle$
- Pokud je $0 < \sum_{i=1}^n s_i < 1$ mluvíme o **průměrné kontraktivitě**

Kochova vločka



Fraktální geometrie

Statistická soběpodobnost

- A je statisticky soběpodobná, pokud je sjednocením konečného počtu zmenšených kopií sebe sama

$$A = \bigcup_{i=1}^n \varphi_i(A)$$

- Každá kopie $\varphi_i(A)$ má stejné statistické charakteristiky jako A
- φ_i jsou statisticky nerozlišitelné
- Dle toho, zda je φ_i lineární nebo nelineární, mluvíme o lineární nebo nelineární soběpodobné množině
- Příklad: Kámen a hora (rozlišení na obrázku je složité)

Fraktální geometrie

Soběpodobnost

- Myšlenka soběpodobnosti – zoomováním objektu v něm najdeme stejné vzory, které se opakují s jiným rozlišením



Fraktální geometrie

Dimenze fraktálu

■ Topologická dimenze:

- bod ... 0
- úsečka ... 1
- čtverec ... 2
- krychle ... 3

■ Měření fraktálů je v topologické dimenzi složité

■ Čím je povrch členitější, tím je měření nepřesnější

■ Je-li ϵ míra, velikost objektu získáme

$$K = N \cdot \epsilon$$

Potřebujeme N úseček délky ϵ . K je aproximovaná délka.

■ Čím je ϵ menší, tím se zvětšuje hodnota K

■ Pro ϵ blíží se 0 se K blíží k ∞

■ Aby mělo K smysluplnou hodnotu, je potřeba použít upravený vztah

$$K = N \cdot \epsilon^D$$

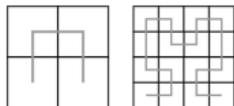
■ D je **fraktální dimenze**

■ Existuje více definic fraktální dimenze, tato je nejpoužívanější – **soběpodobnostní FD**

Fraktální geometrie

Dimenze fraktálu

- Pro ne příliš členité povrchy je fraktální dimenze rovna topologické
- Pro úsečku délky $K = 1$ potřebujeme $N = 3$ úseček délky $1/3$. Abychom dostali odpovídající míru, musí být $D = 1$. Kdyby bylo $D > 1$ K by byla nekonečná, pro $D < 1$ je K rovno 0.
- Intuitivně křivky mají topologickou dimenzi 1
- **Hilbertova křivka** (space filling) je křivka, která má fraktální dimenzi 2



- Křivky, které se neprotínají nemohou mít dimenzi větší než 2
- Spojité křivky nemohou mít dimenzi menší než 1

Fraktální geometrie

Dimenze fraktálu

- U členitých objektů spíše než topologickou dimenzi měříme míru členitosti (fraktální dimenzi)
- Čím je objekt členitější, tím je fraktální dimenze větší
- Pokud má objekt topologickou dimenzi 1 a fraktální dimenzi 2, znamená to, že vyplňuje plochu.
- Vysoce členité objekty mají fraktální dimenzi větší než topologickou
- **Fraktály** – vysoce členité objekty, které splňují soběpodobnost

Fraktální geometrie

Fraktál

- Fraktál:

$$A = \bigcup_{i=0}^{\infty} \varphi_i(A)$$

- V přírodě nejsou objekty s nekonečně detaily (nejedná se o fraktál, této definice)
- Lepší označení by bylo **fraktálům podobné struktury**
- **Přesně soběpodobné fraktály** = deterministické
- **Statisticky soběpodobné fraktály** = nedeterministické (stochastické, náhodné)
- Podle transformace dělíme na lineární a nelineární
- V počítačové grafice se setkáme nejčastěji se statistickými lineárními

Fraktální geometrie

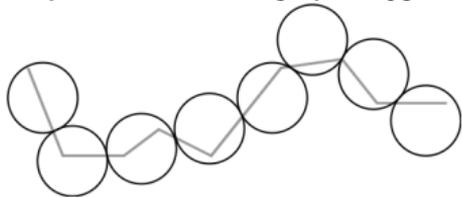
Výpočet dimenze

- D určíme z $K = N \cdot \epsilon^D$ tak, že za K dosadíme 1 a ϵ budeme limitně zmenšovat ($\rightarrow 0$)
- Fraktální dimenzi D deterministického fraktálu, který vznikne aplikací n transformací φ_i , každá s měřítkem s_i (koeficient měřítka je s) dle následující rovnice
$$\sum_{i=0}^n s_i^D = 1$$
- Tedy $D = \frac{\log n}{\log 1/s}$
- Odhad stochastických fraktálů – různé metody založené na **metodě počítání čtverců** (box counting method)

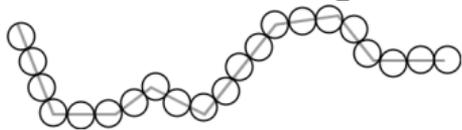
Fraktální geometrie

Výpočet dimenze

- Máme křivku, jejíž dimenzi odhadujeme
- V prvním kroku ji pokryjeme N_1 nepřekrývajícími se kruhy stejné velikosti



- Ve druhém kroku N_2 menšími kruhy stejné velikosti



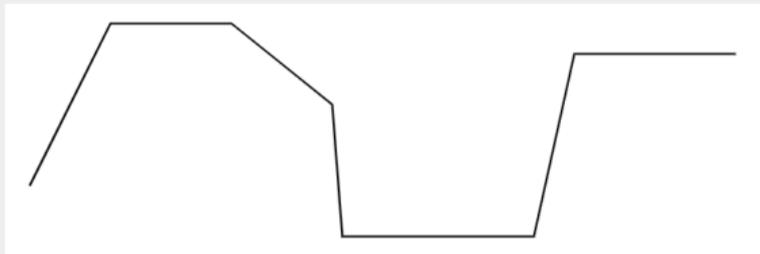
- Poměr velikostí kruhů z obou kroků označíme r
- Odhad fraktální dimenze je
$$D \approx \frac{\log N_2/N_1}{\log 1/r}$$
- Přesnější odhad získáme pomocí více měření

Fraktální geometrie

Výpočet dimenze

Příklad

Určete odhad fraktální dimenze následující křivky.



Žlutá kolečka 20 mm, modrá 15 mm, světle zelená 10 mm, zelená 5 mm

Fraktální geometrie

Výpočet dimenze

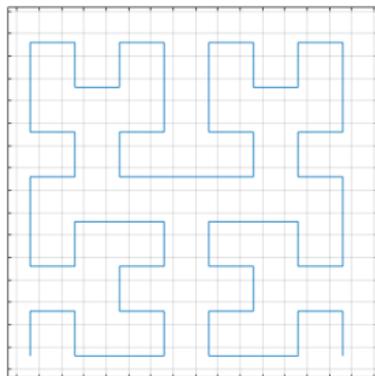
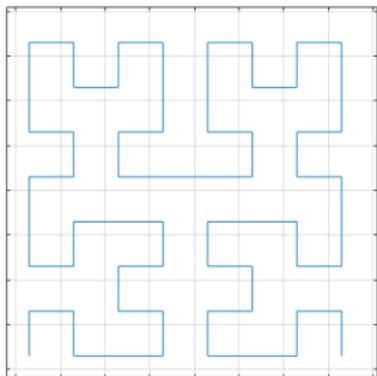
- Jednodušší způsob – pokryjeme křivku sítí čtverců $s_0 \times s_0$
- Spočítáme počet čtverců, které křivku obsahují – n_0
- V dalším kroku zvětšíme rozlišení sítě na $s_1 \times s_1$ a spočítáme n_1
- Měření můžeme několikrát opakovat
- Hodnoty nanese na logaritmicko - logaritmickou stupnici, body proložíme přímkou (aproximujeme je)
- Sklon této přímky určuje dimenzi měřené křivky
- Při dvojnásobném zvětšení kroku se dimenze odhaduje
$$D = \log_2(n_1/n_0)$$

Fraktální geometrie

Výpočet dimenze

Příklad

Určete odhad fraktální dimenze následující křivky.



Fraktální geometrie

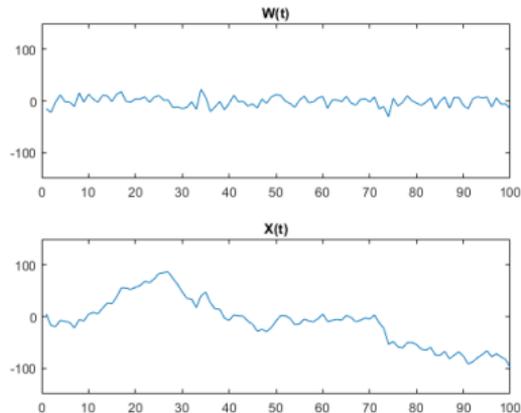
Náhodné fraktály

- Stochastické fraktály, založené na náhodných číslech
- V přírodě jsou transformace nelineární, my se spokojíme s lineárními
- **Brownův pohyb** (Brown motion, B_m) – základ náhodných fraktálů
- Brown pozoroval pohyb pylových částí ve vodě, Einstein později pohyb zdůvodnil – molekuly naráží na zrnka pylu
- Brownův pohyb byl nazván **náhodná procházka** (random walk)

Fraktální geometrie

Náhodné fraktály

- **1 rozměrný Brownův pohyb** (Brown motion, B_m)
- X se v čase t nachází v pozici $X(t)$
- X se pohybuje rovnoměrnou rychlostí po ose x
- V diskrétních okamžicích $i = 0, 1, \dots$ je vychýlen v kolmém směru náhodnými pulsy $W(t)$
- $W(t)$ je funkce pulzů – pulzy musí mít Gaussovské rozložení a jejich střední hodnota musí být rovna 0 (tato podmínka charakterizuje energii molekul)
- B_m má fraktální dimenzi 1.5
- Body získané průnikem B_m křivky s osou x tvoří fraktální množinu s dimenzí 0.5



Fraktální geometrie

Náhodné fraktály

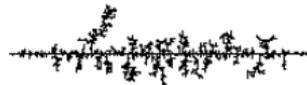
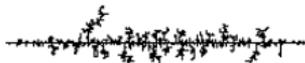
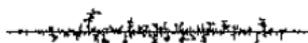
- Přímo aplikací 1 rozměrného Brownova pohybu je **Difúzní omezená agregace** (Diffusion limited aggregation, DLA)
- DLA je fyzikálním jevem, při kterém vznikají dendrity, např. při elektrických výbojích
- Rostou tak obrazce na zmrzlých sklech
- Simulace růstu korálů
- **Princip:**
 - V roztoku plavou molekuly látky
 - V roztoku jsou také kondenzační jádra
 - Když se nějaká z pohybujících se molekul přiblíží ke kondenzačnímu jádru, je jím zachycena, nalepí se na něj a stane se také kondenzačním jádrem
 - Jak přibývají jádra, vzniká tvar
 - Ve 2D vzniká fraktál s dimenzí 1.7
 - V jiných variantách se molekula stane kondenzačním jádrem až po několika dotycích, nebo jen s nějakou pravděpodobností

Fraktální geometrie

DLA

■ Algoritmus ve 2D:

- 1 Vytvoříme nulovou matici
 - 2 Některé hodnoty nastavíme na nenulovou hodnotu (kondenzační jádra)
 - 3 Postupně v cyklu přidáme na náhodné místo na okraji částici, na kterou aplikujeme B_m
 - 4 Pokud se při pohybu částice dotkne jádra, stane se také jádrem
 - 5 Pokud částice opustí oblast matice, vygeneruje se další částice
- Simulace je pomalá, algoritmus má exponenciální složitost

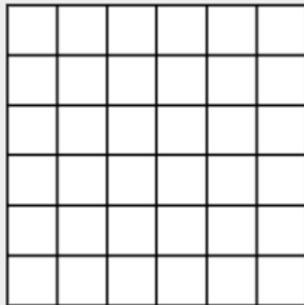


Fraktální geometrie

DLA

Příklad

Do následující matice vložte jedno nebo více kondenzačních jader. Pomocí kostky simulujte DLA.



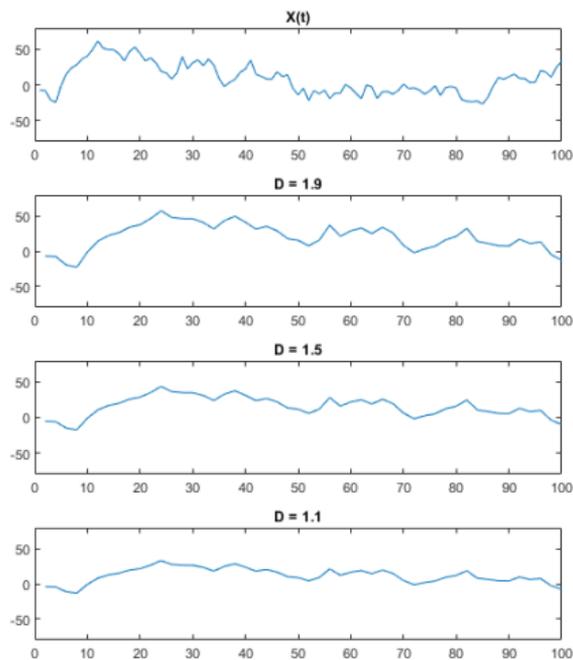
Fraktální geometrie

Zobecněný Bm

- Zobecnění Bm – **Zlomkový Bm** (fBm)
- Vznikají fraktály s libovolnou fraktální dimenzí
- fBm získáme z Bm změnou měřítka (s různým koeficientem v různém směru)
- Náhodné fraktály s dimenzí D získáme z Bm tak, že ho vynásobíme ve směru x koeficientem r a ve směru y koeficientem $1/r^H$
- H je **Hurstův exponent**
 $D = 2 - H$ pro $0 \leq H \leq 1$
- **Postup:**
 - Vygenerujeme Bm
 - Zvolíme fraktální dimenzi D
 - Určíme Hurstův exponent H ($H = 2 - D$)
 - Bm vynásobíme ve směru x hodnotou r (nejčastěji se volí 2) a ve směru y koeficientem $1/r^H$

Fraktální geometrie

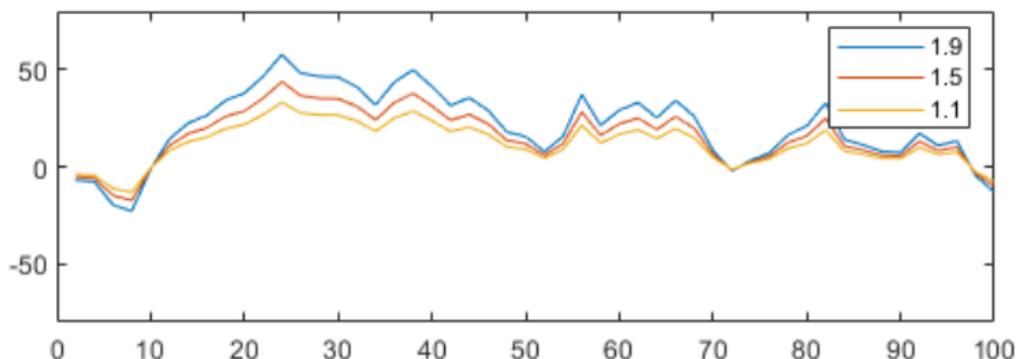
Zobecněný Bm



Fraktální geometrie

Zobecněný Bm

- $H < 0.5$ – křivka je více členitá ($D > 1.5$)
- $H > 0.5$ – křivka je méně členitá ($D < 1.5$)
- $H = 0.5$ – křivka je statisticky nerozlišitelná od Bm ($D = 1.5$)



Fraktální geometrie

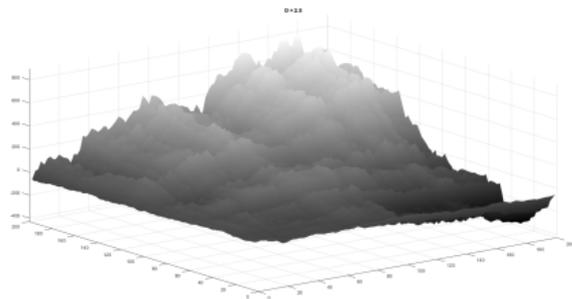
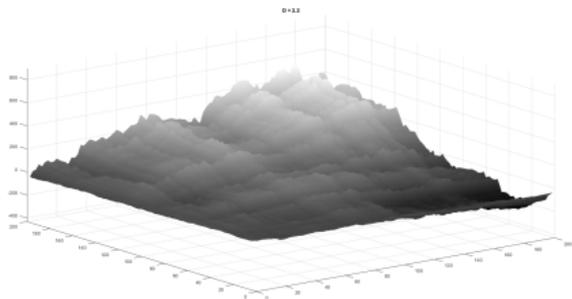
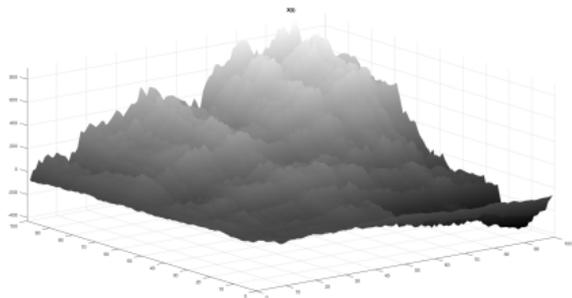
Zobecněný Bm

- **Rozšíření do 2D** – zlomková Brownova plocha (fBm plocha)
- Fraktální dimenze $D = 3 - H$ ($D \in \langle 2, 3 \rangle$)
- H je **Hurstův exponent** $0 \leq H \leq 1$
- Aby byla zachována statistická soběpodobnost, musí mít plocha stejné statistické momenty (obecně stačí schodnost průměru a směrodatné odchylky) v každých dvou intervalech a v obou směrech

Fraktální geometrie

Zobecněný Bm

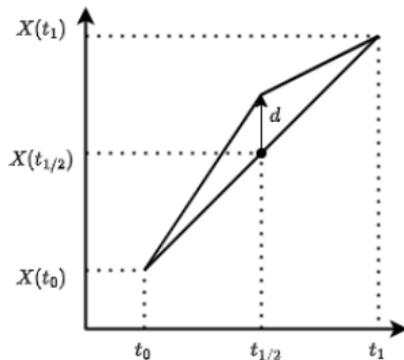
Terén pomocí fBm plochy – H určuje členitost povrchu (čím je vyšší, tím je hladší)



Fraktální geometrie

Metoda náhodného přesouvání středu

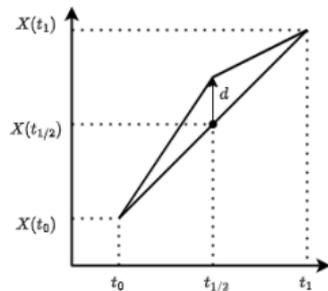
- Alternativní metoda pro modelování fBm je metoda **náhodného přesouvání středního bodu** (random midpoint displacement)
- V 1D – rekurzivně dělíme úsečku na polovinu a přesouváme střední bod o náhodné číslo d
- Úsečku nahrazujeme lomenou čarou
- Tato křivka interpoluje 2 body – **fraktální interpolace**



Fraktální geometrie

Metoda náhodného přesouvání středu

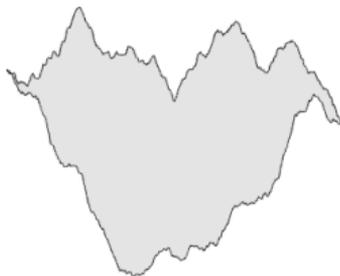
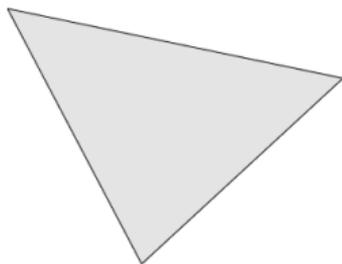
- Vstup: úsečka $[t_0, X(t_0)], [t_1, X(t_1)]$ a H
- Výstup: fraktální křivka interpolující body $[t_0, X(t_0)]$ a $[t_1, X(t_1)]$, dimenze fraktálu je $D = 2 - H$
- Určíme střed úsečky
 $[t_{1/2}, X(t_{1/2})] = \left[\frac{t_0+t_1}{2}, \frac{X(t_0)+X(t_1)}{2} + d \right]$
- Stejný postup aplikujeme na nově vzniklé úsečky
- d musí být v normalizovaném Gaussově rozložení s tím, že se v každé iteraci mění rozptyl v závislosti na H
- V praxi se výpočet d zjednodušuje následujícím vztahem
 $d = H \cdot \text{gauss}(0, 1) \cdot \Delta t$
- Kritérium zastavení rekurze závisí na aplikaci, např. dle délky úsečky (úsečka je menší než uhlopříčka pixelu), na počtu úseček



Fraktální geometrie

Metoda náhodného přesouvání středu

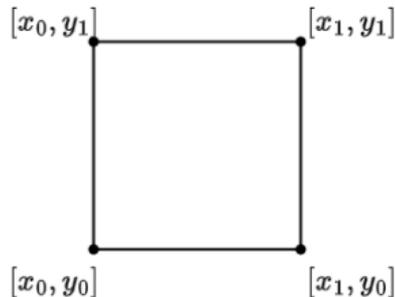
- V počítačové grafice se používá například pro generování tvaru ostrovů (kontinentů)
- Fraktální interpolace se použije na několik bodů, kterými určíme přibližný obrys



Fraktální geometrie

Metoda náhodného přesouvání středu

- Ve 3D aplikujeme tuto metodu buď na trojúhelníky, nebo na čtverce
- Máme 4 body:
 $[x_0, y_0, f(x_0, y_0)]$, $[x_0, y_1, f(x_0, y_1)]$,
 $[x_1, y_0, f(x_1, y_0)]$, $[x_1, y_1, f(x_1, y_1)]$
- Na obrázku je naznačen průmět do roviny XY



Fraktální geometrie

Metoda náhodného přesouvání středu

- Při rekurzivním dělení zjistíme střed čtverce

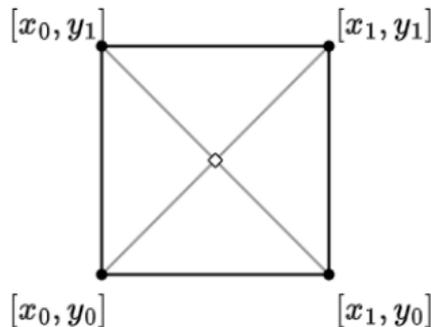
$$[x_{1/2}, y_{1/2}, f(x_{1/2}, y_{1/2})]$$

$$x_{1/2} = \frac{x_0 + x_1}{2}, y_{1/2} = \frac{y_0 + y_1}{2}$$

$$f(x_{1/2}, y_{1/2}) =$$

$$\frac{f(x_0, y_0) + f(x_1, y_0) + f(x_0, y_1) + f(x_1, y_1)}{4} + d$$

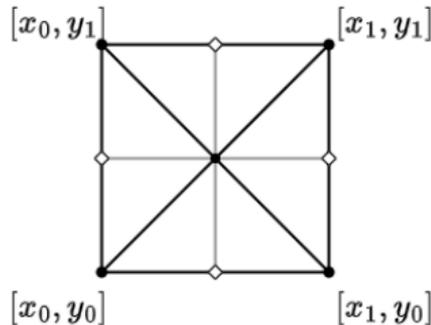
- Stejně jako ve 2D, $H = 3 - D$



Fraktální geometrie

Metoda náhodného přesouvání středu

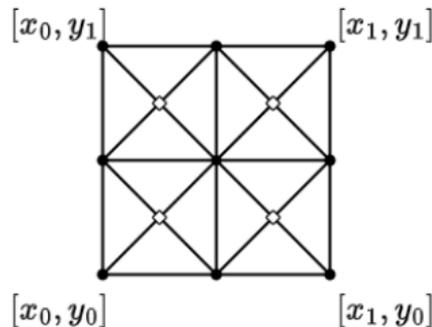
- Ve 2. kroku se vypočítají body, které leží na hranách zadaného čtverce
- Toho dosáhneme tak, že čtverec otočíme o 45° a vypočítáme hodnoty stejným způsobem, jako v předchozím kroku
- Na okraji má každý čtverec jen 3 sousedy – hodnotu vypočítáme pouze z nich (implementačně doplníme okraje o 0 hodnoty – zero padding)
- Vzniklá chyba není patrná



Fraktální geometrie

Metoda náhodného přesouvání středu

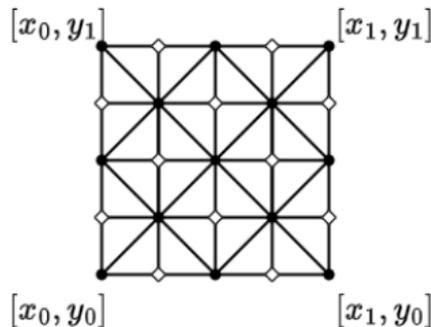
- V dalším kroku otočíme čtverec zpět a předchozí dva kroky aplikujeme na 4 nové čtverce



Fraktální geometrie

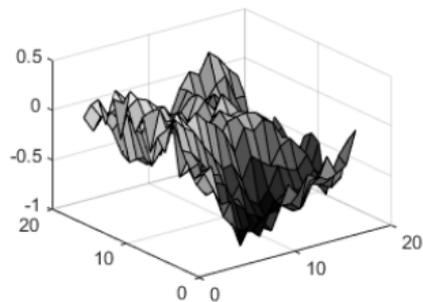
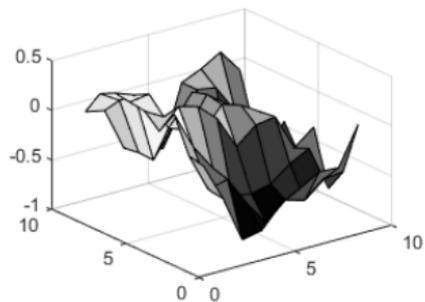
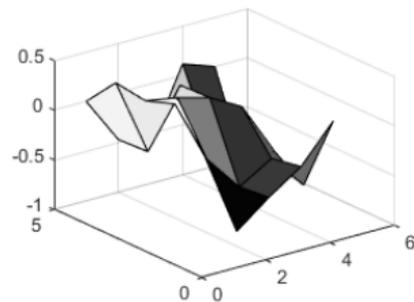
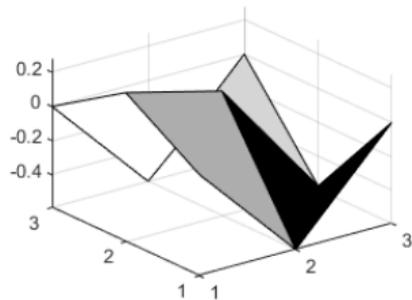
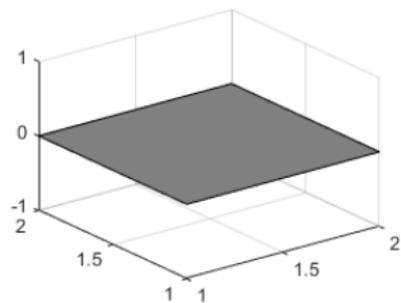
Metoda náhodného přesouvání středu

- Při otočení čtverce o 45° vznikne diamant – **diamond square algorithm**
- Problém je opět určit, kdy zastavit rekurzi – nejčastěji v závislosti na velikosti čtverce



Fraktální geometrie

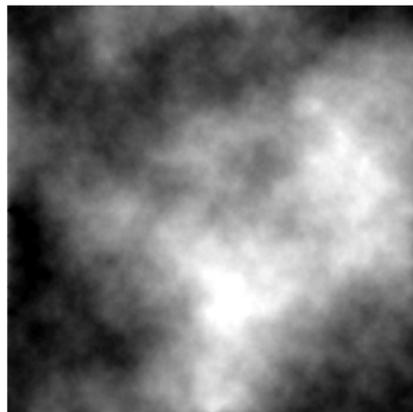
Metoda náhodného přesouvání středu



Fraktální geometrie

Metoda náhodného přesouvání středu

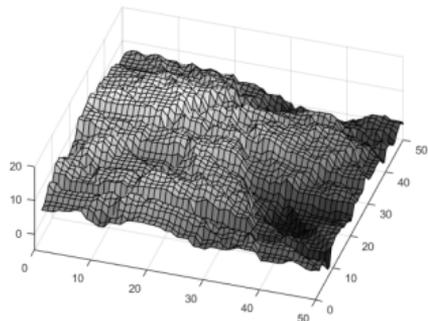
- Při vytváření 2D modelu mraku můžeme využít fraktálních charakteristik fBm plochy
- Zobrazíme-li tuto plochu v kolmém průměru tak, že výšku budeme reprezentovat jako barvu (např. odstíny šedi), získáme poměrně věrohodný obraz mraku
- 3D model – můžeme vyjít z metody náhodného přesouvání středu do vyššího rozměru
- 4. rozměr tohoto fraktálu se interpretuje jako hustota
- Výsledná struktura se obtížně vykresluje – nejčastěji se zobrazuje pomocí metody ray crossing (kde se hustota interpretuje jako útlum), o které budeme mluvit později
- O jiném generování mraků budeme mluvit později



Fraktální geometrie

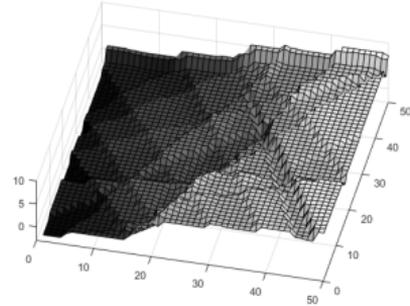
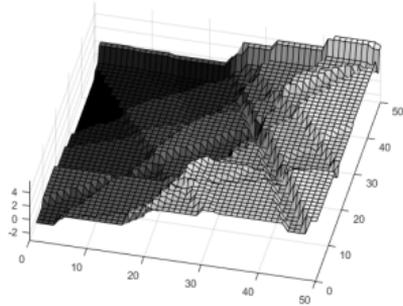
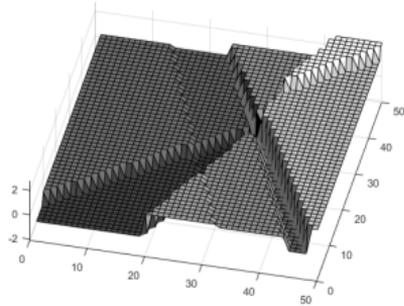
Metoda náhodných poruch

- Další z metod, jak generovat fBm je metoda **náhodných poruch** (random faults method)
- Implementačně nejjednodušší, iterativní
- Algoritmus se aplikuje na 2D matici v níž je hodnota každého bodu výškou
- Na začátku jí nastavíme na 0
- V cyklu provádíme následující kroky:
 - Rozdělíme matici na 2 části (např. protneme přímkou)
 - Body na jedné straně zvýšíme o d a body na druhé o stejnou hodnotu snížíme
- Kromě protínání přímkou můžeme výběr bodů (které snižujeme/zvyšujeme) vybírat tak, že do plochy „obtiskneme“ nějaký tvar (např. různé velké kružnice)



Fraktální geometrie

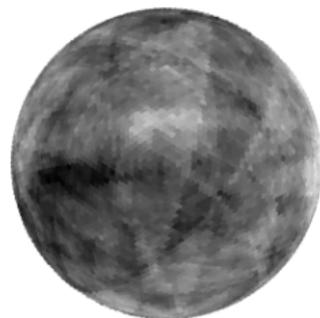
Metoda náhodných poruch



Fraktální geometrie

Metoda náhodných poruch

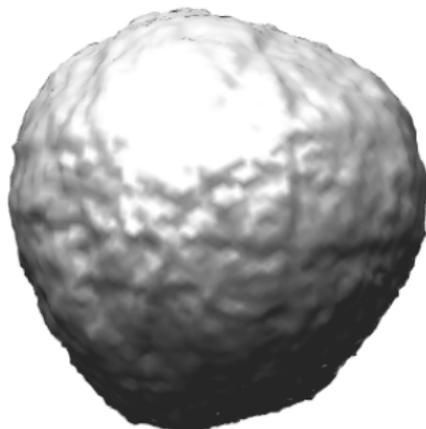
- Metodou náhodných poruch se generují například i planety, kde se tato metoda aplikuje na kouli
- Koule = hustá síť trojúhelníků (je důležité, aby všechny měly přibližně stejnou velikost)
- Pro generování koule se používá algoritmus rekurzivního zjemňování dvou na sobě položených čtyřstěnů, jejichž vrcholy leží na povrchu koule
- Na začátku se všem vrcholům nastaví stejná barva
- Koule se iterativně rozdělí na 2 části a každé části se přiřadí změna barvy barvy, případně výšky o náhodné gaussovské číslo, které klesá s počtem iterací
- Vedeme-li řez vždy středem koule, je jedna polokoule negativem té druhé



Fraktální geometrie

Metoda náhodných poruch

- Takto generované planety nejsou moc reálné, velikost povrchových struktur v reálném světě je zanedbatelná s poloměrem koule
- Jak některá hodnota klesne pod určitou hodnotu, zaokrouhlíme ji a na považujeme ji za vodu
- Reálnější vzhled planet – pomocí fraktální interpolace hranic nějakého povrchového modelu



Fraktální geometrie

Krajiny

- Základní datová struktura – **pravidelné výškové pole** (regular height field)
- Pravidelné výškové pole = dvojrozměrná matice, prvky se interpretují jako výška terénu nad základní úrovní
- Nevýhoda – není možné popsat převisy (tedy plně 3D krajinu) – 2.5 rozměrná krajina
- Výšková pole převádíme na síť trojúhelníků
- 3D krajiny (i s převisy) se uchovávají v objemové reprezentaci (datová náročnost, složitější převod na síť polygonů, složitější vykreslování přímo)
- Formáty pro reprezentaci povrchu – DEM (Digital elevation model), rozšíření TIFF (geoTIFF)

Fraktální geometrie

Krajiny

- Fraktálně generované krajiny nevypadají úplně přirozeně
- Údolí a hory mívají různý tvar – fraktální krajiny při otočení vzhůru nohama vypadají stejně
- Na krajiny přirozeně působí vnější síly, které otupují ostré hrany – eroze
- Existují algoritmy, které simulují opotřebení
- Nejprve vygenerujeme hrubý tvar krajiny (např. pomocí fraktálů) a dále tyto data upravujeme **erozními algoritmy**

Fraktální geometrie

Krajiny a eroze

■ Termoeroze:

- Vliv teploty na tvar povrchu
- Vlivem teplotních rozdílů z povrchu opadávají částičky → zahlazení hran

■ Hydroeroze:

- Působení vody
- Globální – kapky deště dopadají na povrch, který je díky tomu hladší (jako u termoeroze, jen intenzivněji), materiál je přenášen z vyšších míst dolů
- Lokální – drolení částiček tekoucí vodou

■ Větrná eroze:

- Nejméně používaná v počítačové grafice
- Zejména se používá při generování pouští – uchopení částic větrem a přenesení na jiné místo

Fraktální geometrie

Modelování krajiny

- V prvním kroku vygenerujeme (vymodelujeme) síť řek (fBm, L-systémy)
- Poté fraktální interpolací vygenerujeme krajinu

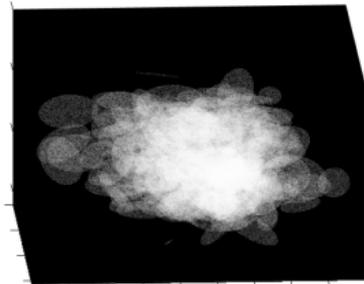
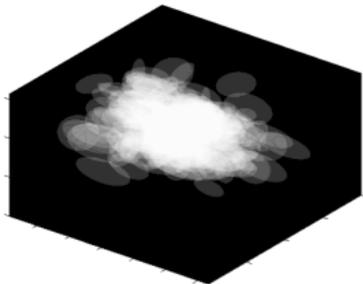
Modelování mraků

- Kromě již zmíněných možností pomocí fraktálů
 - Náhodné struktury
 - Celulární automaty

Modelování mraků

Náhodné struktury

- Objemová struktura, která je tvořena elipsoidy s poloprůhlednou texturou
- K elipsoidům se přidává i funkce šumu, která narušuje pravidelnost elipsoidů
- Funkce se aplikuje průhlednost se kterou se části elipsoidů zobrazují



Modelování mraků

Celulární automaty

- **Celulární automat** je označení pro určitý typ fyzikálního modelu reálné situace v podobě algoritmu
- Dynamický systém, diskrétní v hodnotách, prostoru i čase
- Je tvořen pravidelnou strukturou buněk v N -rozměrném prostoru
- Každá buňka nabývá jeden z K možných stavů
- Hodnoty stavů buněk v dalším časovém kroku vypočítáme paralelně na základě přechodové funkce
- Argumenty této funkce jsou aktuální hodnoty stavů vyšetřované buňky a buněk v jejím okolí

Modelování mraků

Celulární automaty

- Prostor rozdělíme na 3D mřížku buněk
- Každá buňka nese informaci o 3 logických hodnotách – přítomnost vlhkosti (*hum*), přítomnost mraků (*cl*) a přítomnost fázového posunu (*phs*)
- V každém kroku tyto hodnoty pro každou buňku aktualizujeme na základě hodnot buňky a buněk okolních

Modelování mraků

Celulární automaty

Přechodová funkce:

- $f(i, j, k) = phs(i + 2, j, k, t_i) \vee phs(i + 1, j, k, t_i) \vee phs(i - 1, j, k, t_i) \vee$
 $phs(i - 2, j, k, t_i) \vee phs(i, j + 1, k, t_i) \vee phs(i, j - 1, k, t_i) \vee phs(i, j - 2, k, t_i) \vee$
 $phs(i, j, k + 2, t_i) \vee phs(i, j, k + 1, t_i) \vee phs(i, j, k - 1, t_i) \vee phs(i, j, k - 2, t_i)$
- $hum(i, j, k, t_{i+1}) = hum(i, j, k, t_i) \wedge \neg phs(i, j, k, t_i)$
- $cld(i, j, k, t_{i+1}) = cld(i, j, k, t_i) \vee phs(i, j, k, t_i)$
- $phs(i, j, k, t_{i+1}) = \neg phs(i, j, k, t_i) \wedge hum(i, j, k, t_i) \wedge f(i, j, k)$

Hodnota f vždy závisí na 2 buňkách v kladném i záporném směru os x a z , 2 buňkách nad a 1 pod (tím se modeluje reálný svět)

Modelování mraků

Celulární automaty

- „Úmrtnost mraků“ se modeluje tak, že se specifikuje pravděpodobnost p_{cld} , v každém kroku se vygeneruje náhodné číslo pro každou buňku, pokud je toto číslo \leq než p_{cld} je cld hodnota nastavena na 0
- Pravděpodobnosti p_{hum} a p_{phs} ovlivní vytvoření mraku v nějaké buňce v budoucnosti – pokud je vygenerovaná náhodná hodnota $\leq p_{hum}$ nebo p_{phs} vlastnost se nastaví na 1

Příklad

Jak se upraví přechodová funkce, aby zohlednila výše uvedená pravidla?

Systemy částic

- **Systemy částic** (Particle systems) – se používají k modelování objektů, jejichž tvar je natolik členitý (nebo se mění takovým způsobem), že ho není možné reprezentovat povrchem
- Např. hejna ptáků, padající sníh, oheň, mlha, tráva, les a jiné
- **Reprezentace** – soubor velmi malých prvků (částic), jejichž vlastnosti se mění v čase
- V nějaké místě mohou vznikat, případně mizet, mohou mít libovolný tvar (vločka, bod, ...)
- Klíčovou roli hrají náhodná čísla
- Vlastnosti $x = s + rand() \cdot v$ (s střední hodnota náhodných čísel, v rozptyl, $rand()$ náhodné číslo)
- x reprezentuje například barvu, dobu života a pod.

Systemy částic

- 1 Na základě parametrů každé existující částice se aktualizuje její poloha a ostatní atributy
- 2 V celém systému se vytvoří nové částice. Ty vznikají v nějaké konkrétní oblasti, nebo mohou vznikat jako potomci jiných částic
- 3 Každé nové částici se přiřadí vlastnosti
- 4 Částice, které překročily dobu životnosti zaniknou
- 5 Systém se zobrazí

Systemy částic

Ohňostroj

Vlastnosti

- Životnost – Každá částice má počítadlo, které se v každém kroku dekrementuje. Jakmile dojde k nule, částice přestane existovat.
- Pozice a směrový vektor – Částice si uchovává informaci o tom, kde se nachází a jakým směrem a jakou rychlostí se pohybuje. V každé iteraci se pozice změní o zadaný vektor.
- Velikost – Informace o velikosti částice. Pokud se velikost v průběhu času mění, můžeme zadat i o kolik se v každém kroku změní.
- Barva – Částici můžeme přiřadit barvu, průhlednost, případně informaci o změně v průběhu času (můžeme například snižovat jas)
- Tvar – Například koule, hvězda a jiné.



Systemy částic

Ohňostroj

Chování

- Částice za sebou nechává nové malé částice, které mají krátkou životnost a buď se pohybují stejným směrem, nebo zůstávají na místě
- Částice může na konci životnosti explodovat a vytvořit kouli nových částic
- Na pohyb částice může působit gravitace (tím se bude měnit její dráha)
- Částice může blikat (v nějakých iteracích se nezobrazí)

Příklad

Upravte kód generování ohňostroje (popište změnu), aby měl jedno z výše uvedených chování.

Systemy částic

Příklad

Příklad

Popište chování systému částic simulující prskavku.

Systemy částic

Další příklady

- Bublinky v limonádě – vznikají na sklenici (mají různou velikost) a pohybují se směrem vzhůru, jak narazí na hladinu, končí jejich životnost
- Oheň – Částice vznikají v základní části ohně a pohybují se směrem nahoru. Pohyb částic je ovlivněn funkcí šumu (Flow noise) a faktory z okolí (například směr a síla větru) – ty jsou definovány jako částice, které vymezují možný tvar ohně. Čím je částice dále od zdroje, stává se průhlednější.



Dynamické simulace

- Aplikace systému částic – dynamické simulace, které využívají fyzikálních modelů pohybu a interakcí
- Př. Koš míčů vysypaný na schodech
 - Generující objekt – koš, který udělil všem částicím (míčům) počáteční rychlost a směr
 - Každý míč má určitou pružnost a hmotnost a pohybuje se po schodech směrem dolů
 - Míče se mohou mezi sebou srážet, narážet do stěn
- Jádrem tohoto systému je na fyzice založená simulace

Dynamické simulace

- Stav $y(t)$ v čase t každé částice je určen jako uspořádaná dvojice $y(t) = [X(t), \vec{v}(t)]$
- $X(t) = [x(t), y(t), z(t)] \dots$ poloha částice
- $\vec{v}(t) = (v_x(t), v_y(t), v_z(t)) \dots$ vektor okamžité rychlosti
- Částice má hmotnost m , která je v čase neměnná
- **Změna rychlosti:** $\frac{dX(t)}{dt} = \vec{v}(t)$
$$\frac{d\vec{v}(t)}{dt} = \frac{\vec{F}(t)}{m}$$
- $\vec{F}(t) \dots$ vektor sil působící na částici
- Nejjednodušší způsob – aplikace **Eulerovy metody**, kde systém převedeme na
$$X(t + \Delta t) = X(t) + \Delta t \vec{v}(t)$$

$$\vec{v}(t + \Delta t) = \vec{v}(t) + \Delta t \frac{\vec{F}(t)}{m}$$

Dynamické simulace

■ Postup:

- Vynulujeme čítač sil, který je přiřazen částici
- K čítači přičteme všechny síly, které na částici působí
- Nejčastější silou je zemská přitažlivost – $F_g = m \cdot g$ ($g \approx 9.82m/s^2$), viskozita – $F_v = \vec{v}(t) \cdot c$ (c konstanta udávající viskozitu prostředí), vítr a jiné.
- Výsledná síla se použije ve vztahu
$$\vec{v}(t + \Delta t) = \vec{v}(t) + \Delta t \frac{\vec{F}(t)}{m}$$
- Tento výsledek se pak použije pro výpočet nové polohy částice
$$X(t + \Delta t) = X(t) + \Delta t \vec{v}(t)$$

- Eulerova metoda je implementačně jednoduchá, ale ne vždy vhodná – u dynamických systémů může dojít k oscilaci částic v případě, kdy by měly být v klidu

Dynamické simulace

Řešení kolizí mezi sebou

- Detekce kolizí částic s objekty i mezi sebou
- Nejjednodušší řešení – objekty reprezentované v ploškové reprezentaci
- Každá ploška leží v rovině, která je dána bodem a normálovým vektorem \vec{n}
- Detekce kolize částice s rovinou je snadná – dojde ke změně znaménka skalárního součinu $\vec{n} \cdot (P - X(t))$
- Pokud platí $\text{sgn}(\vec{n} \cdot (P - X(t))) \neq \text{sgn}(\vec{n} \cdot (P - X(t + \Delta t)))$ – došlo ke kolizi s rovinou (ne však nutně s ploškou)
- Místo srážky se určí jako průsečík úsečky $X(t)$ a $X(t + \delta t)$ s rovinou (P, \vec{n}) – pro jednoduchost se v případě malého Δt bere jen $X(t)$
- Po detekci kolize se určí změna směru vektoru rychlosti po odražení od roviny – rozklad vektoru rychlosti na rovnoběžnou složku a kolmou složku k normálovému vektoru roviny
- Vektor roviny orientovaný směrem k rovině, \vec{v}' – vektor odrazu
- $\vec{v}' = \vec{v}_t' - \vec{v}_n'$
- $\vec{v}_n' = (\vec{n} \cdot \vec{v}) \vec{n}$ (normálová složka)
- $\vec{v}_t' = \vec{v} - \vec{v}_n'$ (tečná složka)

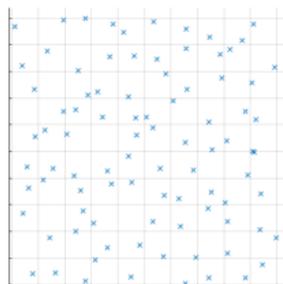
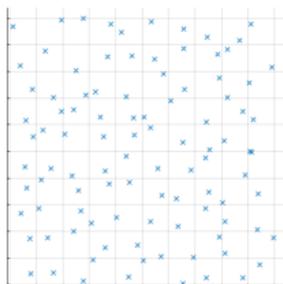
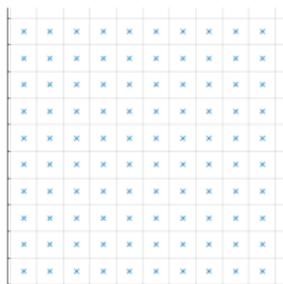
Dynamické simulace

Příklad

Popište systém simulující padající sněh.

Rozmístění objektů ve scéně

- Chceme-li vytvořit scénu obsahující velké množství „stejných“ objektů (les, tráva), vyvstává problém jak ve scéně rozmístit
- Plocha, na které mají být objekty umístěny, se rozdělí na čtverce a určí se místo (střed), kde mají být objekty umístěny
- Tento bod se náhodně posune tak, aby neopustil hranici čtverce (z adaptivního vzorkování známe jako jittering)
- Poté určité množství (např. 10%) bodů odstraníme
- Na každou pozici umístíme objekt



Rozmístění objektů ve scéně

Rostliny

- Dříve popsaný způsob nezohledňuje přirozené shlukování rostlin do skupin
- Modely založené na principech **umělého života** (artificial life)
- Rostliny do systému umístíme náhodně, každá rostlina má své ekologické okolí (kruh získaný projekcí rostliny do země)
- Jak rostlina roste, ekologické prostředí se zvětšuje
- Pokud se dvě prostředí protnou, určí se, která rostlina je silnější, slabší se vyloučí
- Po několika iteracích je rozložení rostlin věrohodné

Textury

- **Textura** - popis vlastnosti povrchu
- Často je efektivnější použít jednoduchou geometrii a složitou texturu, než definovat složité geometrické detaily
- Objekty, které jsou v dálce, nebo zobrazeny krátce jsou od složitě definovaných k nerozeznání
- Texturám se budeme věnovat později.